

群馬大学工学部 (正) ○榎原 豊、(正) 黒田正和
ダイダン 安井圭一

1. まえがき 筆者らは先に、メタン菌固着生物膜の酢酸除去速度及び膜内拡散速度について、膜特性値と操作的因子を用いて検討し、酢酸処理特性と生物付着量、有機物負荷並びに温度との関係を解析した^{1,2)}。本研究は、嫌気性生物膜のプロピオン酸、酪酸及び混合酸(酢酸、プロピオン酸、酪酸)の除去速度について、前報³⁾の37°Cにおける解析結果に基づき、各酸除去速度に及ぼす温度の影響について検討した。

2. 実験装置および方法 実験装置は、前報²⁾と同じ完全混合型(槽内処理水を5~7l/minで循環)の嫌気性充填槽(3槽)で、液容積は2.7l、充填基材(支持材)の比表面積aは0.791cm⁻¹である。供試生物膜は、プロピオン酸、酪酸及び混合酸(酢酸:プロピオン酸:酪酸=0.56:0.32:0.12g-C/g-C)をそれぞれ有機物源とする合成廃水を用い、ほぼ3年間の生物膜化並びに馴致を行った。

実験は各合成廃水の等温処理と非等温処理よりなり、等温処理では温度を37±1°Cに設定し、揮発酸の流入負荷を種々変化させ、定常状態における流出酸濃度及び酸除去速度を測定した。また、非等温処理は、揮発酸の流入濃度(300~1600mg-C/l)及びHRT(略0.4d)を一定とし、処理温度を37°Cから10°C前後まで、ほぼ2°C/dの昇降温速度で順次変化させて行い、流出揮発酸濃度、酸除去速度、メタン発生速度等を測定した。

3. 実験結果及び解析

3・1 等温(37°C)処理結果 図1は、プロピオン酸馴致生物膜槽及び酪酸馴致生物膜槽における、定常状態の流出酸濃度と酸除去速度との関係を示したものである。各酸除去速度(N_{Pflux} , N_{Bflux})は、Monod型の速度式で表され、図中に示す速度係数が得られた。ここで、飽和定数 K_{S1}^* と最大速度(N_{S1}^*)maxから、37°Cにおける膜特性値 M_{S1} (= $L(\hat{\nu}_{\text{S1}} \rho \alpha_{\text{S1}} / K_{\text{S1}} D_{\text{S1}})^{1/2}$)及び操作的因子 P_{S1} (= $L/a \bar{\theta} D_{\text{S1}}$)が解析³⁾され、プロピオン酸分解に対して $M_{\text{P}}|_{37}=6.6$, $P_{\text{P}}|_{37}=0.084/a\bar{\theta}$ 、酪酸分解に対して $M_{\text{B}}|_{37}=11.5$, $P_{\text{B}}|_{37}=0.08/a\bar{\theta}$ が得られた。ここで、a: 1/cm, $\bar{\theta}$: dで、また、L: 生物膜厚、 $\hat{\nu}_{\text{S1}}$: 最大比基質分解速度、 ρ : 生物膜密度、 α_{S1} : S1分解菌比率、S1: 基質、 K_{S1} : 微生物飽和定数、 D_{S1} : 有効拡散係数である。

3・2 非等温処理結果 図2は、プロピオン酸馴致生物膜槽にプロピオン酸を連続供給し、温度を37°Cから順次低下させた場合の全ガス発生速度、メタン発生速度及び流出酸濃度の経日変化を示したものである。ここで、図中のRunAは低負荷条件($\bar{\theta}=0.45$ d, 流入プロピオン酸濃度 $C_{\text{Pf}}=356\text{mg-C/l}$) RunBは高負荷条件($\bar{\theta}=0.38$ d, $C_{\text{Pf}}=1141\text{mg-C/l}$)である。図より、温度の低下につれ、全ガス発生速度、メタン発生速度は減少し、一方流出プロピオン酸濃度は上昇した。また、高負荷条件では低負荷条件に比べて、流出酸濃度は高く、メタン及び全ガス発生速度は大きかった。さらに、ガス発生速度の温度降下に対する減少割合は、高負荷条件ほど大きかった。なお、酪酸馴致生物膜槽及び混合酸馴致生物膜槽においても、全ガス発生速度、メタン発生速度及び流出酸濃度は、高負荷条件ほど大きく、またガス発生速度の温度降下に対する減少割合も大きかった。

図3は、種々の負荷条件における、無次元化プロピオン酸除去速度 N_{Pf}^* と温度との関係を、アレニュースプロットと同様に示したもの

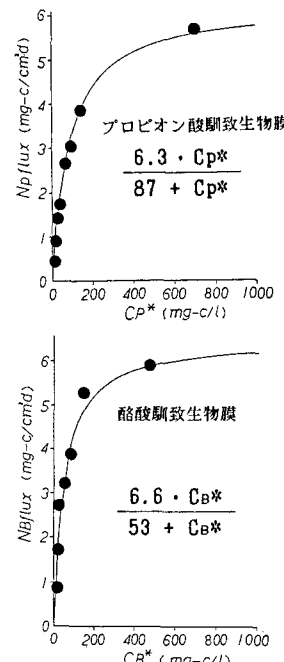


図1 等温(37°C)処理結果

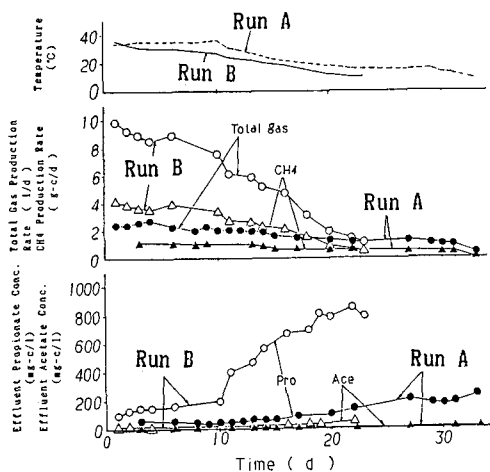


図2 非等温処理(プロピオン酸槽)結果

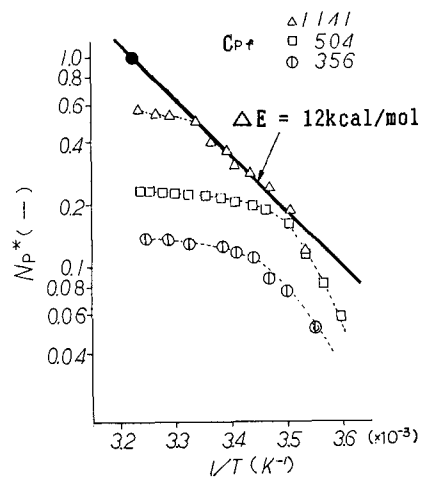


図3 除去速度と温度との関係

である。ここで、縦軸の N_p^* は、生物膜の酸除去速度を37°Cの最大除去速度(N_p)_{max}で除して求めた。図より、流入酸濃度が高い場合、 N_p^* の対数値は絶対温度Tの逆数値と直線関係(図中の実線)にあり、またこの直線関係は37°Cで $N_p^*=1$ (図中の黒丸)となった。直線の勾配から、前報²⁾に従って活性化エネルギー△Eを求めると、略12kcal/molが得られた。同様に、酪酸分解速度について解析すると、ほぼ11kcal/molが得られた。

3・3 撃発酸処理のシミュレーション 図4(A),(B),(C)は、それぞれ

プロピオン酸、酪酸、混合酸の各生物膜処理槽に対して、処理温度と流出酸濃度及び除去率Etとの関係を先の生物膜モデル^{2,3)}に従って、膜特性値、操作的因子及び活性化エネルギーより計算し、実測値と対比させ示したものである。ここで、計算に用いたパラメーターは表1に示した。図に示すように、各生物膜槽における処理水質と除去率Etは、ほぼ10~37°Cの温度範囲において実測値とよく一致した。

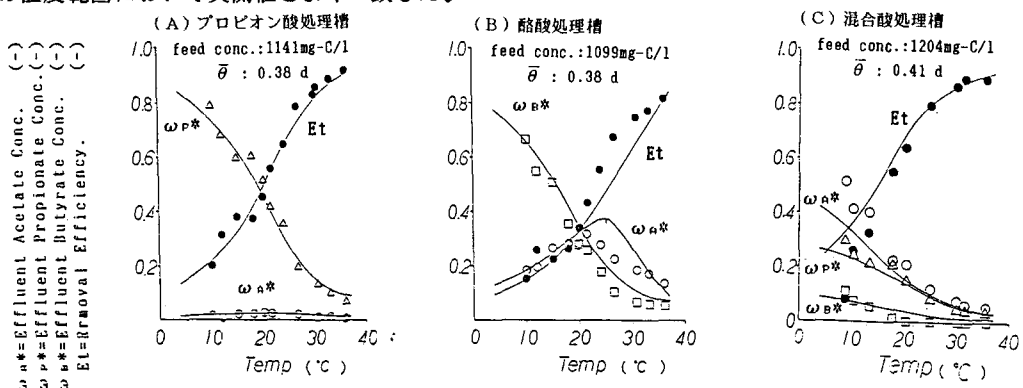


図4 生物膜撃発酸処理のシミュレーション

4.まとめ (1)嫌気性生物膜の撃発性脂肪酸分解速度に対する活性化エネルギーは、プロピオン酸分解がほぼ12kcal/mol、酪酸分解がほぼ11kcal/molであった。(2)生物膜の撃発酸処理特性は、10~37°Cの温度範囲において、膜特性値、操作的因子並びに活性化エネルギー△Eを用いることによって精度良く評価された。

【引用文献】 1) 柳原・湯沢・黒田、土木学会論文集、No.375/-6, pp.311-318(1986)、2) 柳原・湯沢・黒田、衛生工学研究論文集、Vol.23, pp.219-226(1987)、3) Sakakibara,Y., M.Yuzawa and M.Kuroda, Proc. of JSCE, No.378/II-8, pp. 291-299(1987)

表1 動力学パラメーター

プロピオン酸菌群生物膜
$N_p \approx 6.6, P_{eo} \approx 0.084/\text{a}\bar{\theta}, \Delta E = 12\text{kcal/mol}$
酪酸菌群生物膜
$N_p \approx 11.5, P_{eo} \approx 0.080/\text{a}\bar{\theta}, \Delta E = 11\text{kcal/mol}$
混合酸菌群生物膜
$N_p \approx 5.0, P_{eo} \approx 0.074/\text{a}\bar{\theta}, \Delta E = 12.1\text{kcal/mol}$
$N_p \approx 3.8, P_{eo} \approx 0.062/\text{a}\bar{\theta}, \Delta E = 12\text{kcal/mol}$
$N_p \approx 5.0, P_{eo} \approx 0.106/\text{a}\bar{\theta}, \Delta E = 11\text{kcal/mol}$